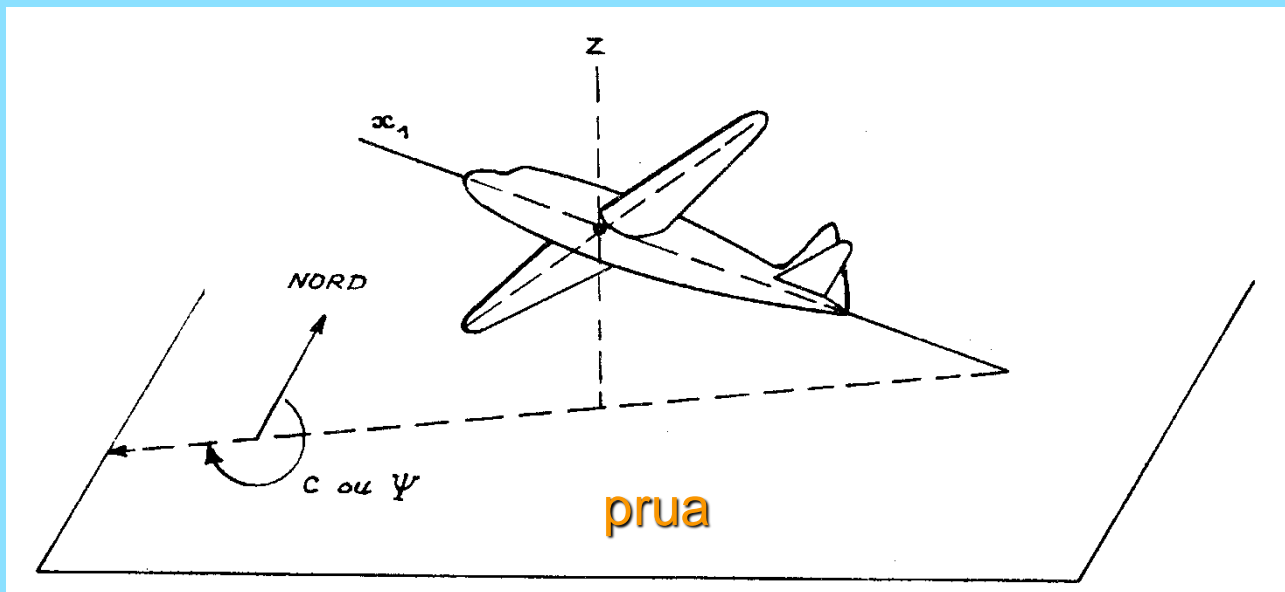
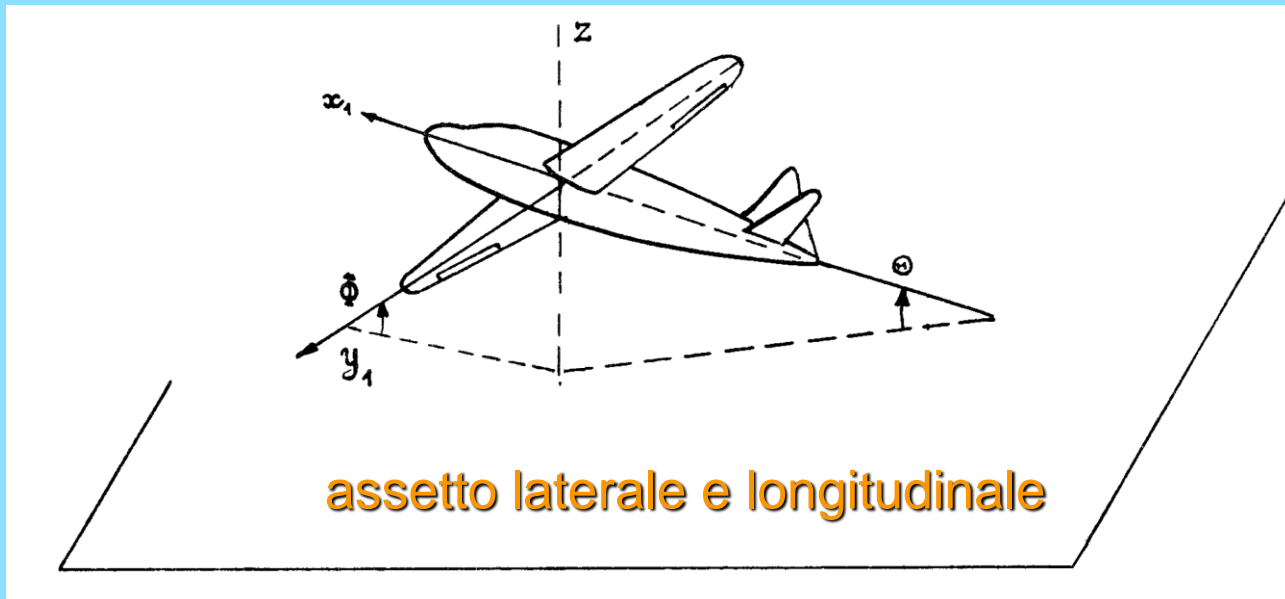
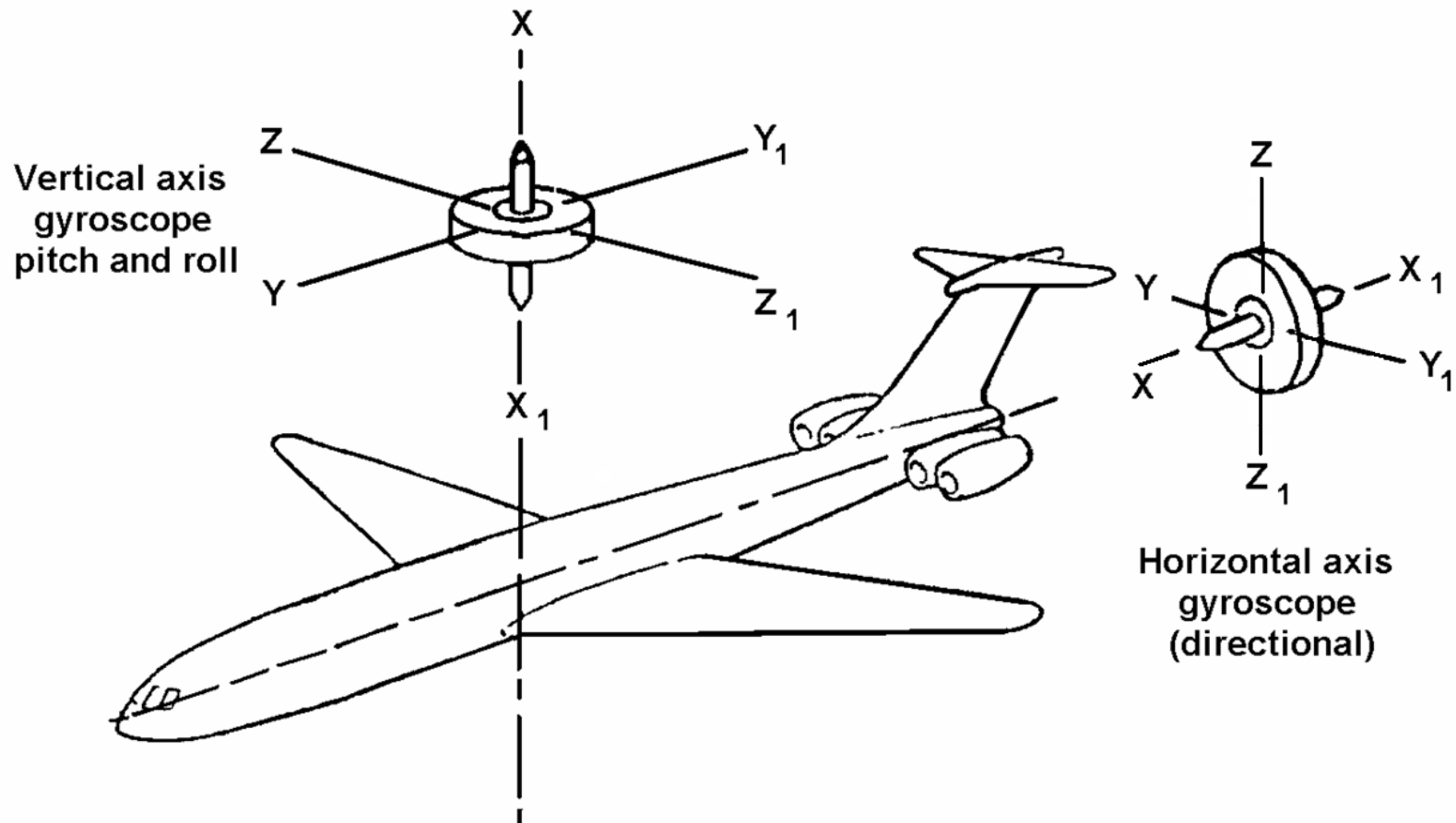


Assetti e prua

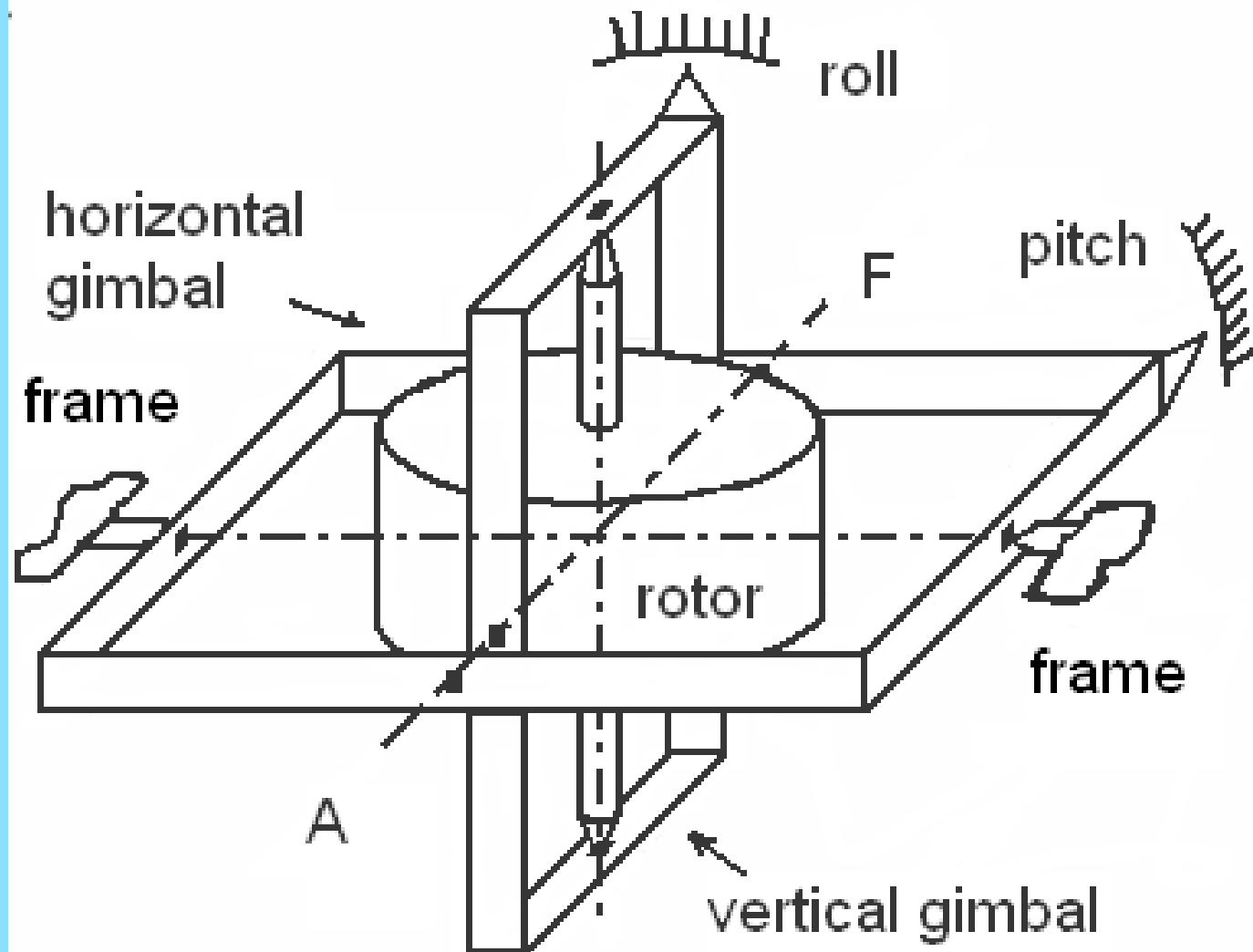


Riferimenti stabiliti da un giroscopio

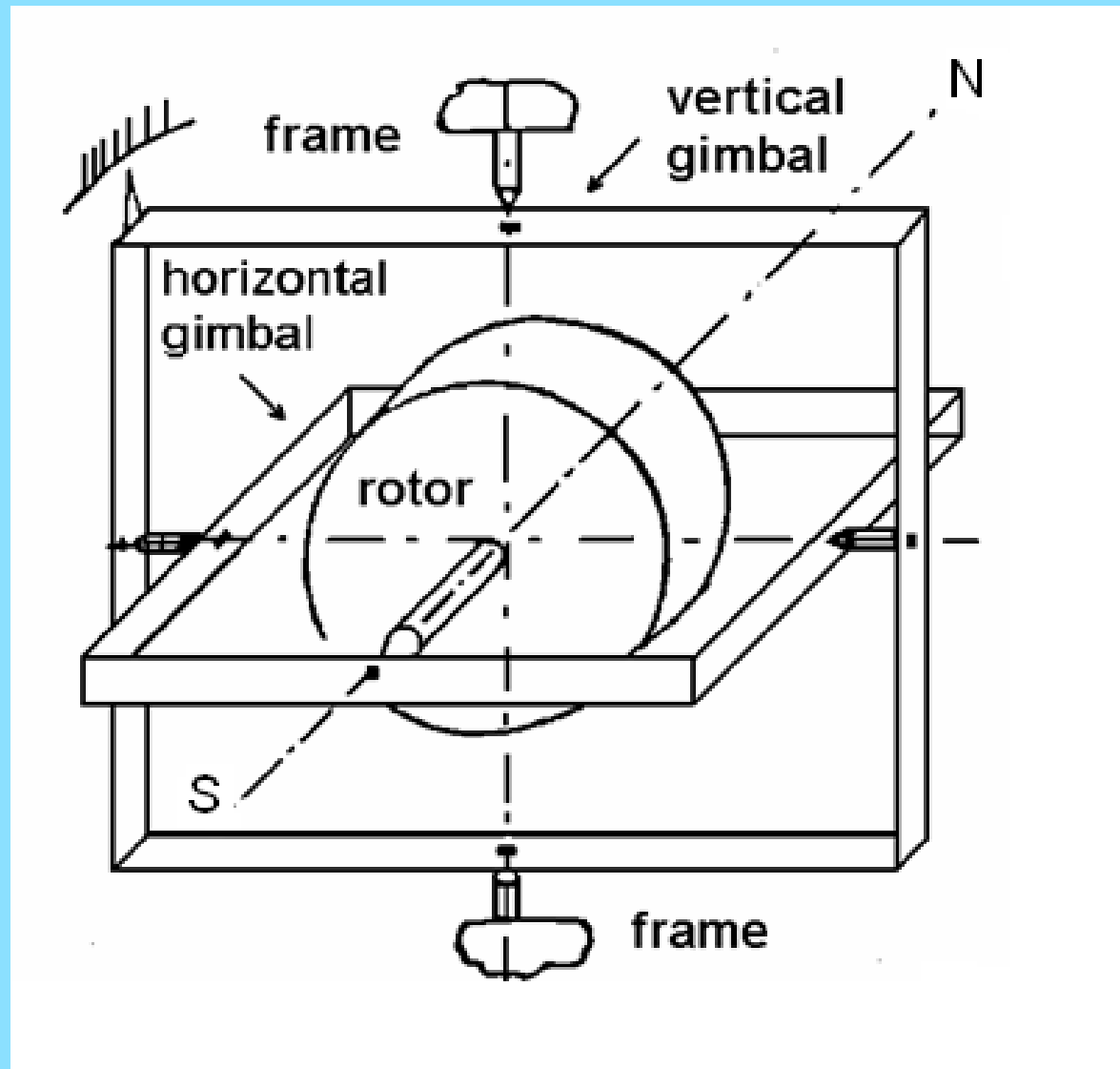


Riferimenti stabiliti da un giroscopio

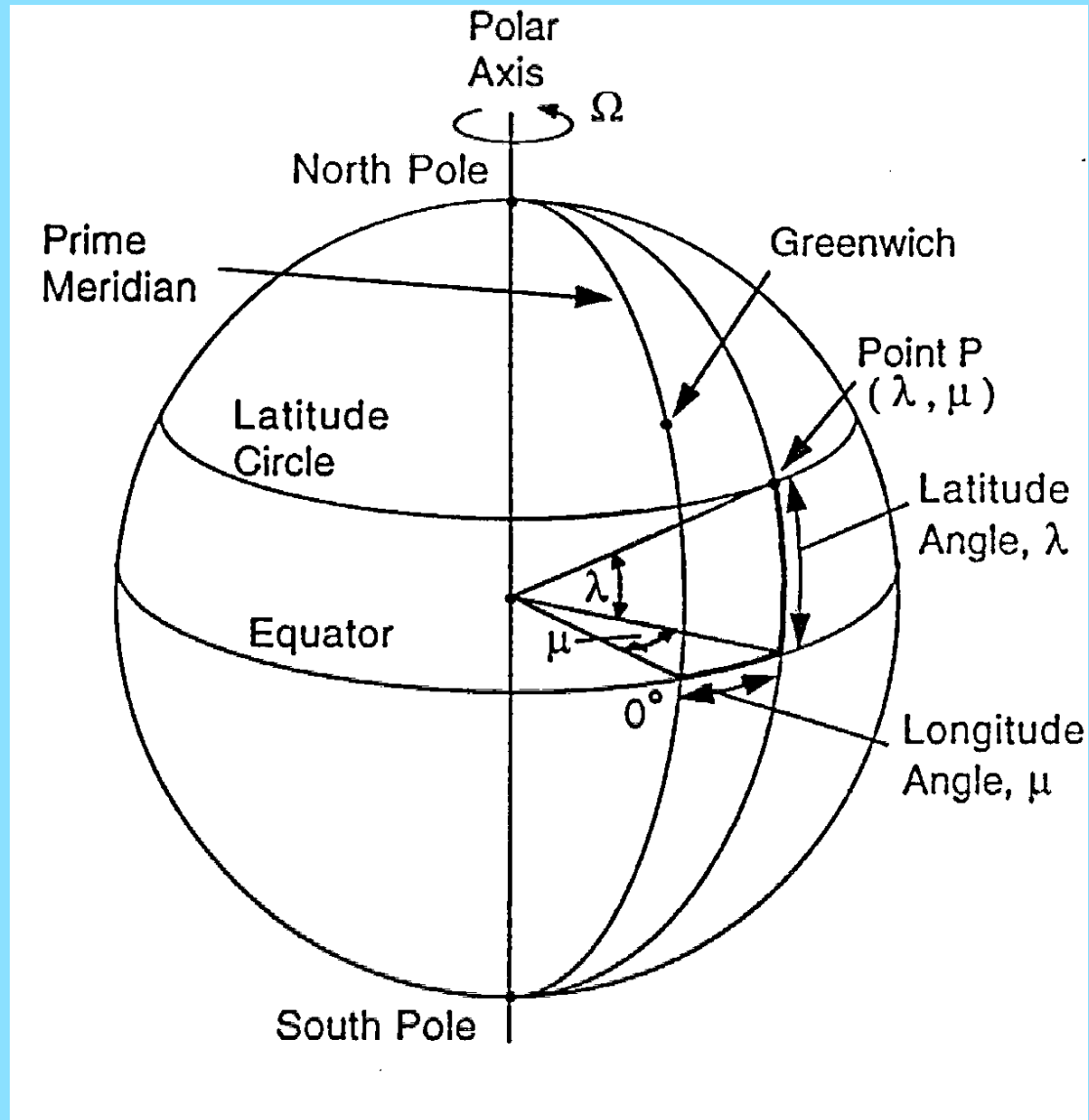
Riferimento verticale



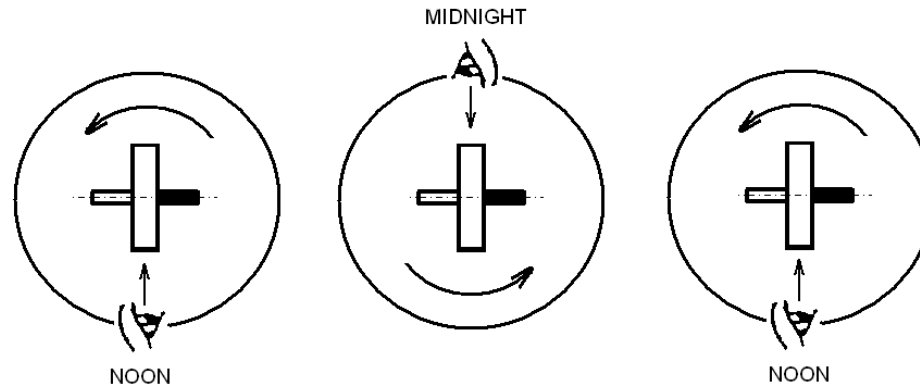
Riferimenti direzionale



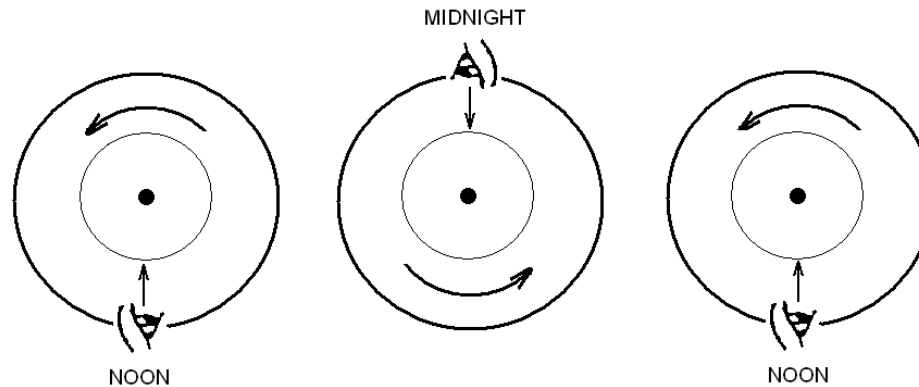
La terra come sistema di riferimento locale



Precessione apparente dovuta alla rotazione

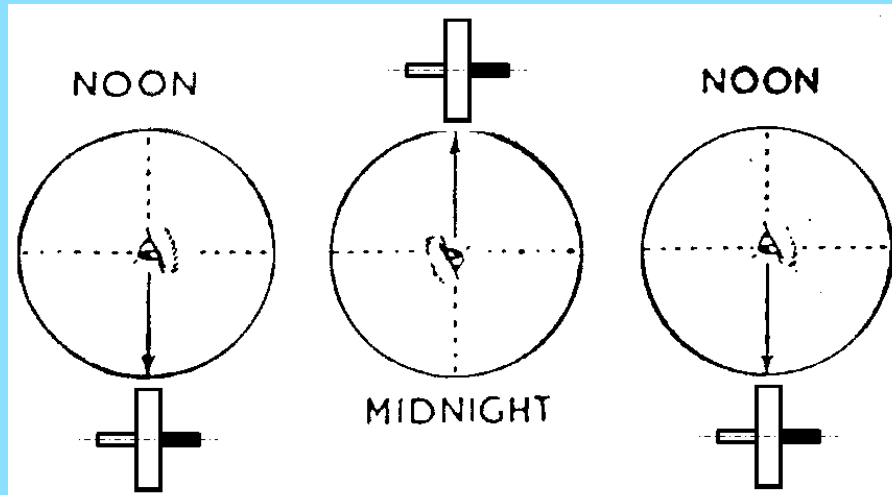


Osservatore al Polo Nord e giroscopio con asse di spin perpendicolare all'asse di rotazione terrestre

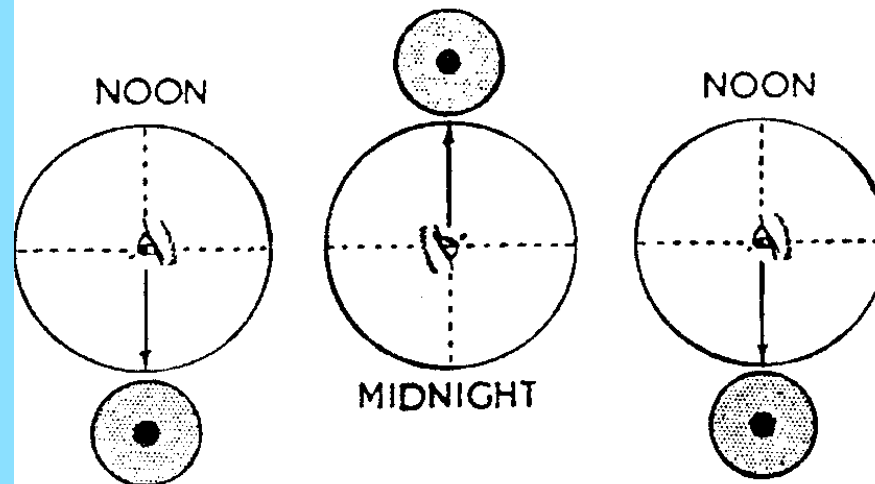


Osservatore al Polo Nord e giroscopio con asse di spin allineato con l'asse di rotazione terrestre

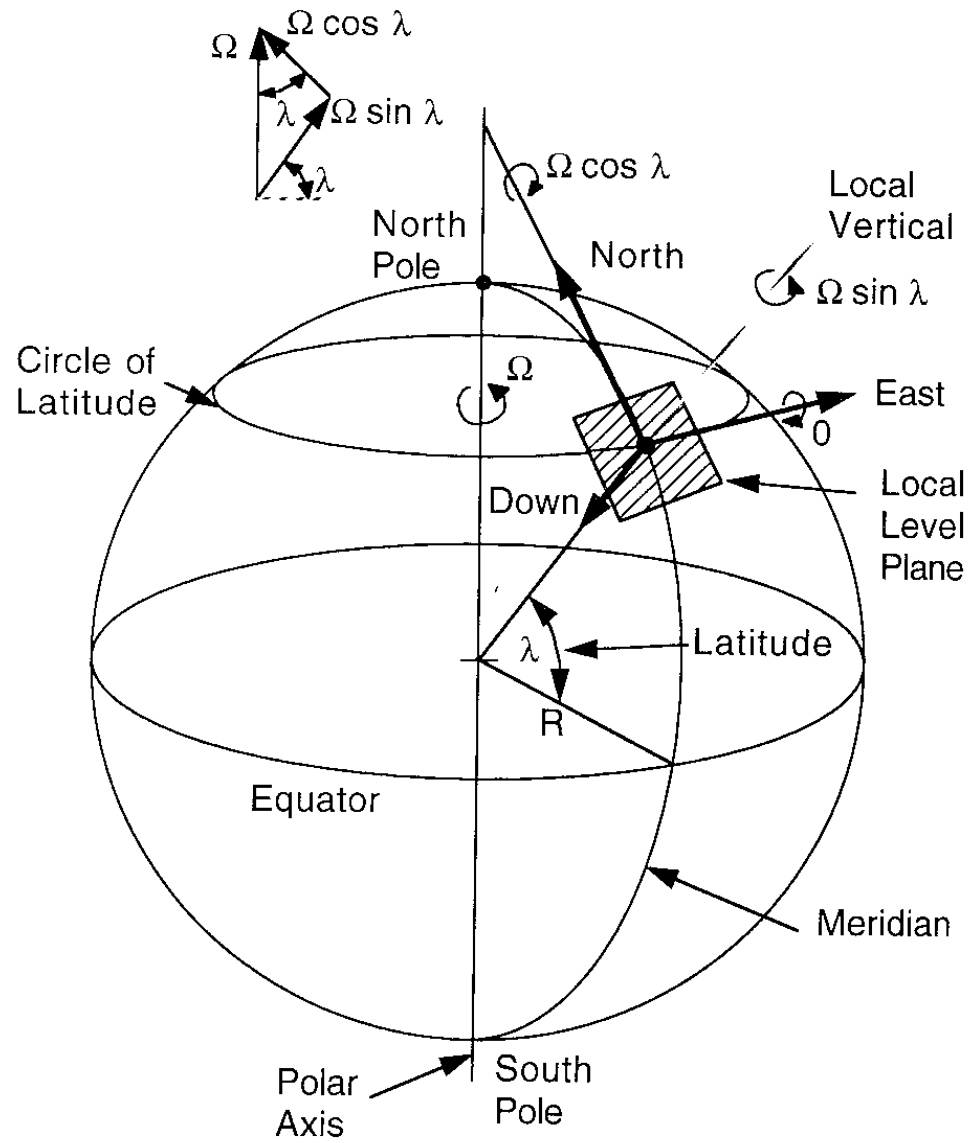
Precessione apparente dovuta alla rotazione



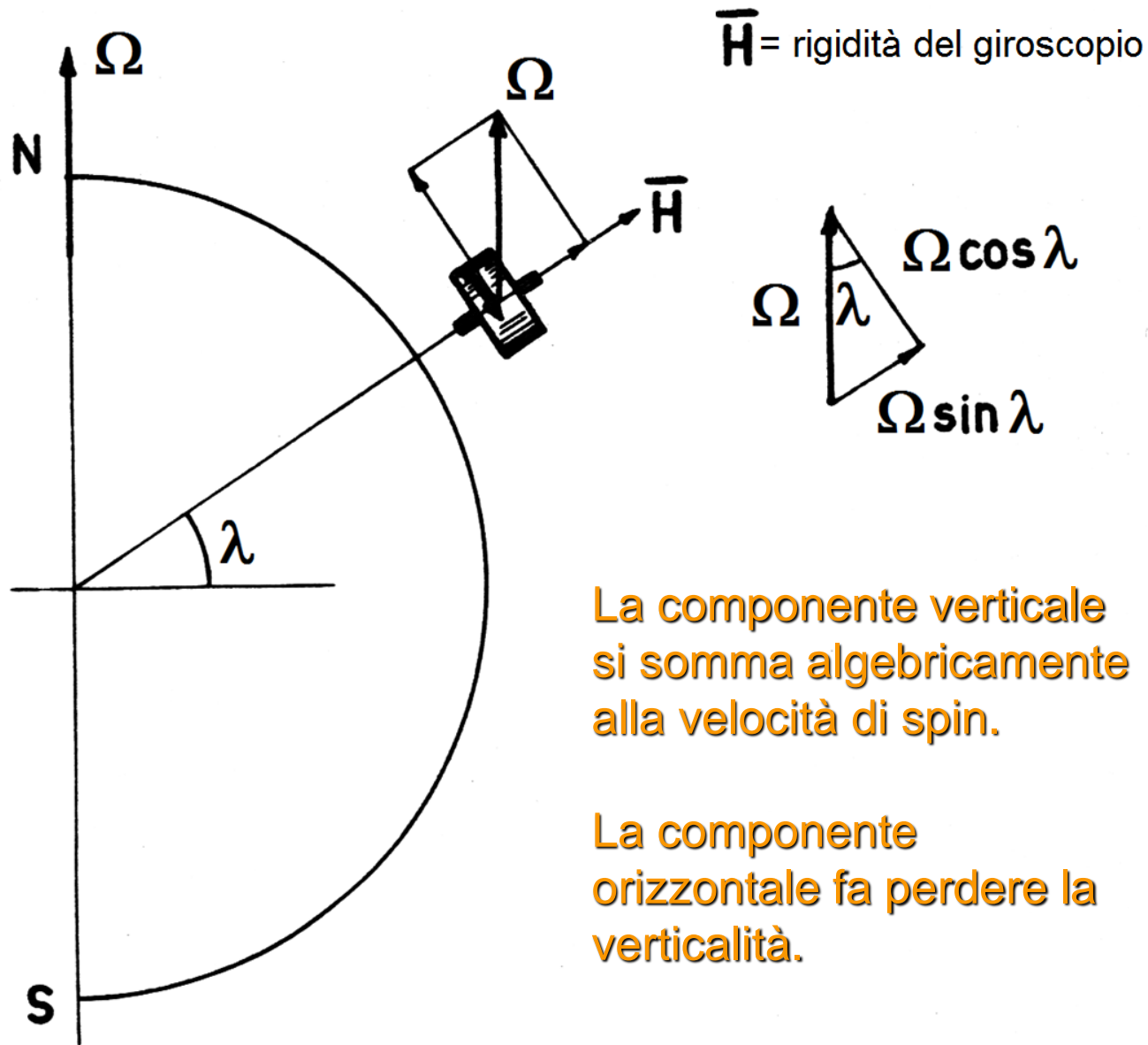
Osservatore all'equatore e giroscopio con asse di spin diretto E-W



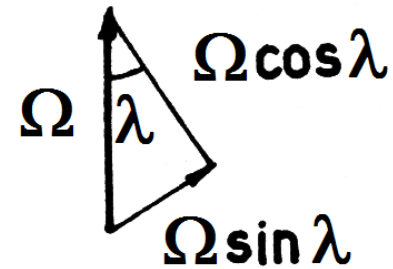
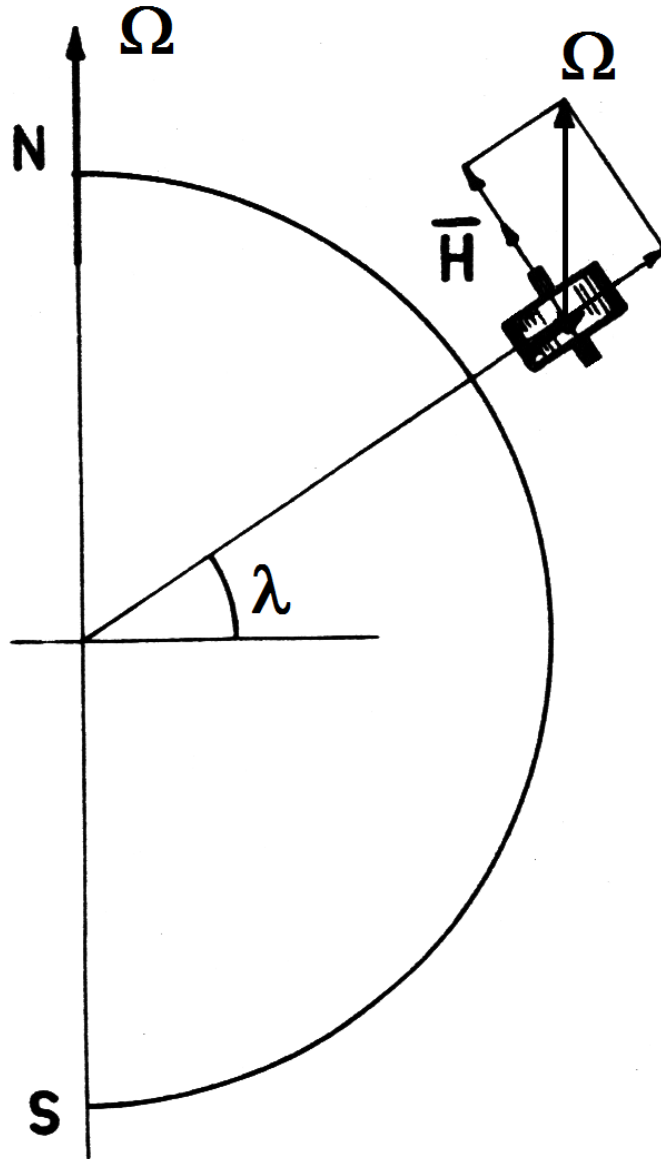
Osservatore all'equatore e giroscopio con asse di spin diretto N-S



Giroscopio con asse parallelo alla verticale locale



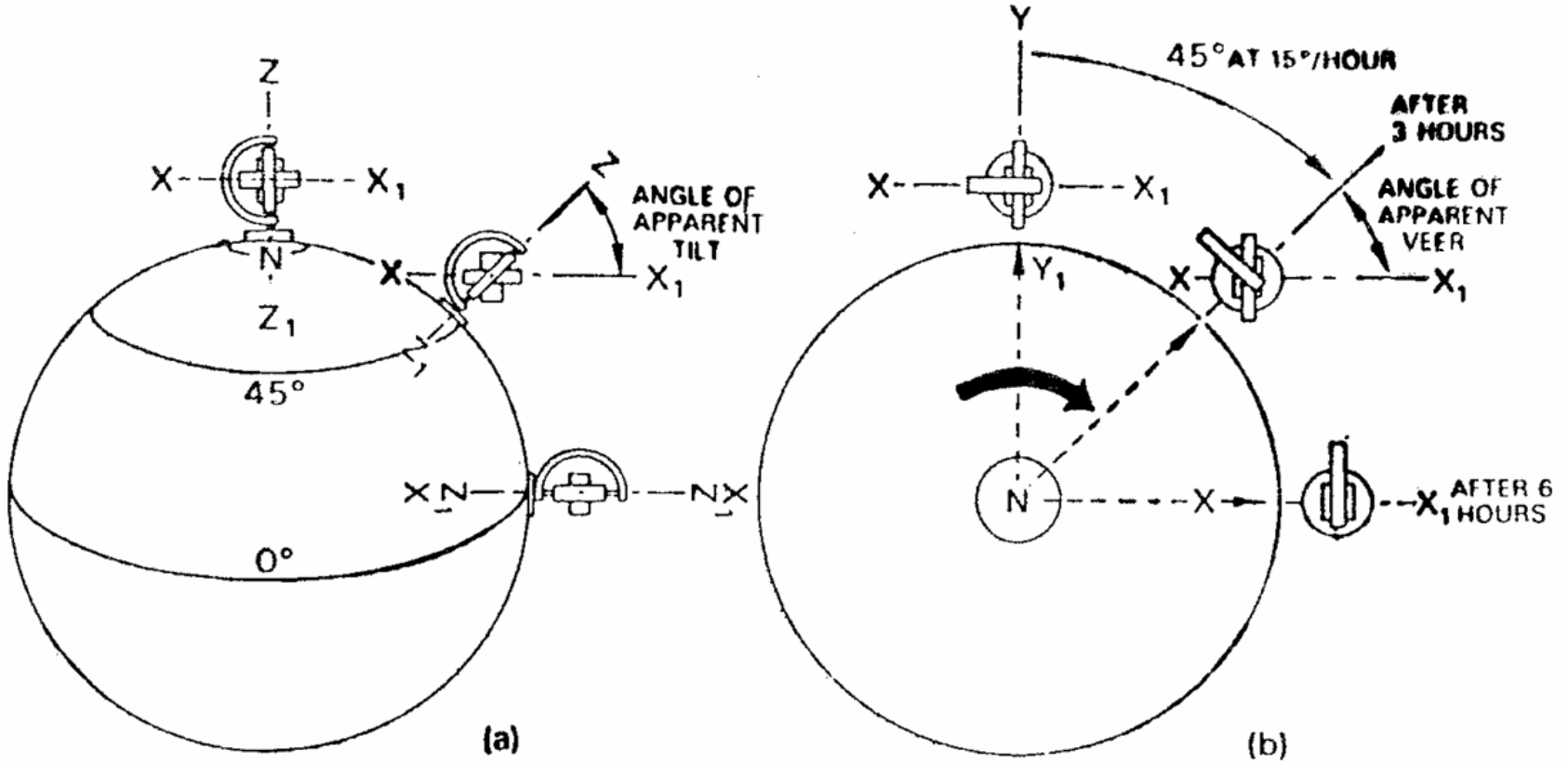
Giroscopio con asse tangente al meridiano locale



La componente orizzontale
si somma algebricamente
alla velocità di spin.

La componente verticale fa
perdere la direzionalità.

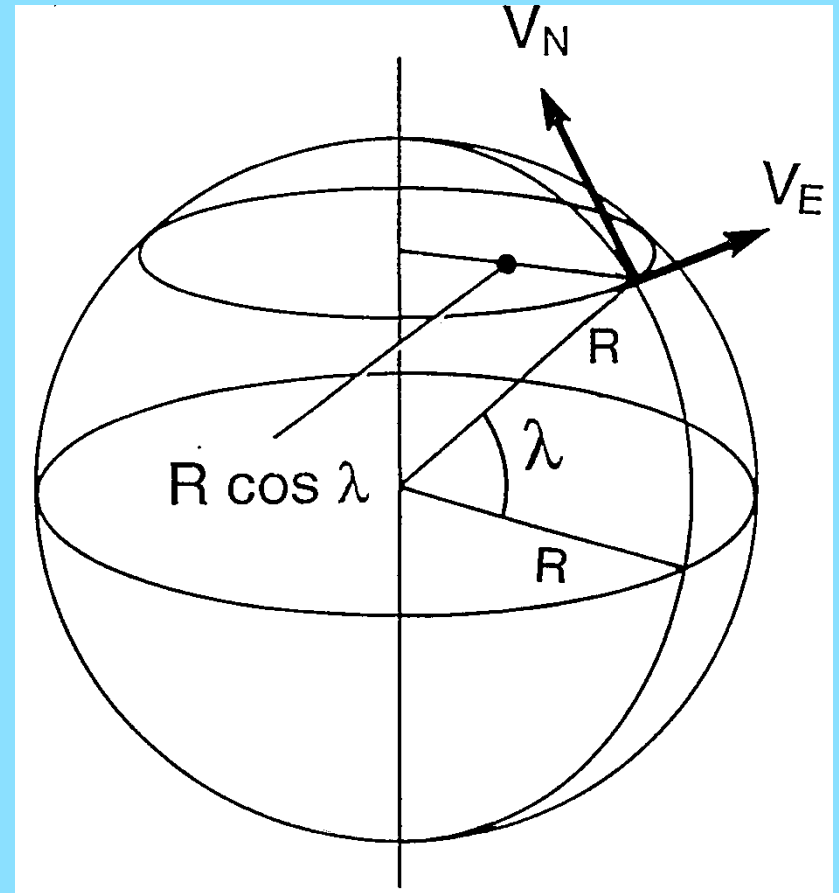
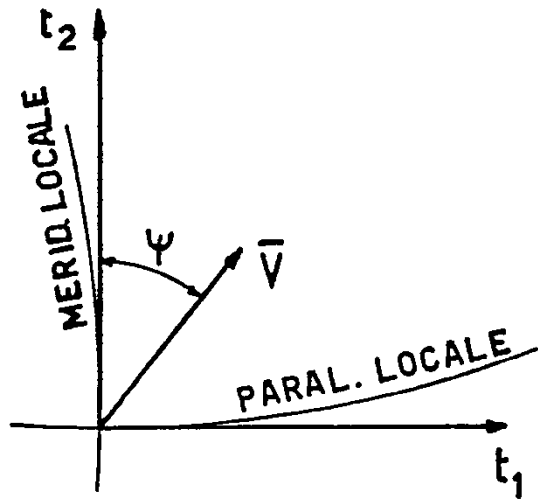
Precessione apparente dovuta al movimento



Effects of earth's rotation and curvature

(a) Apparent tilt (b) Apparent veer

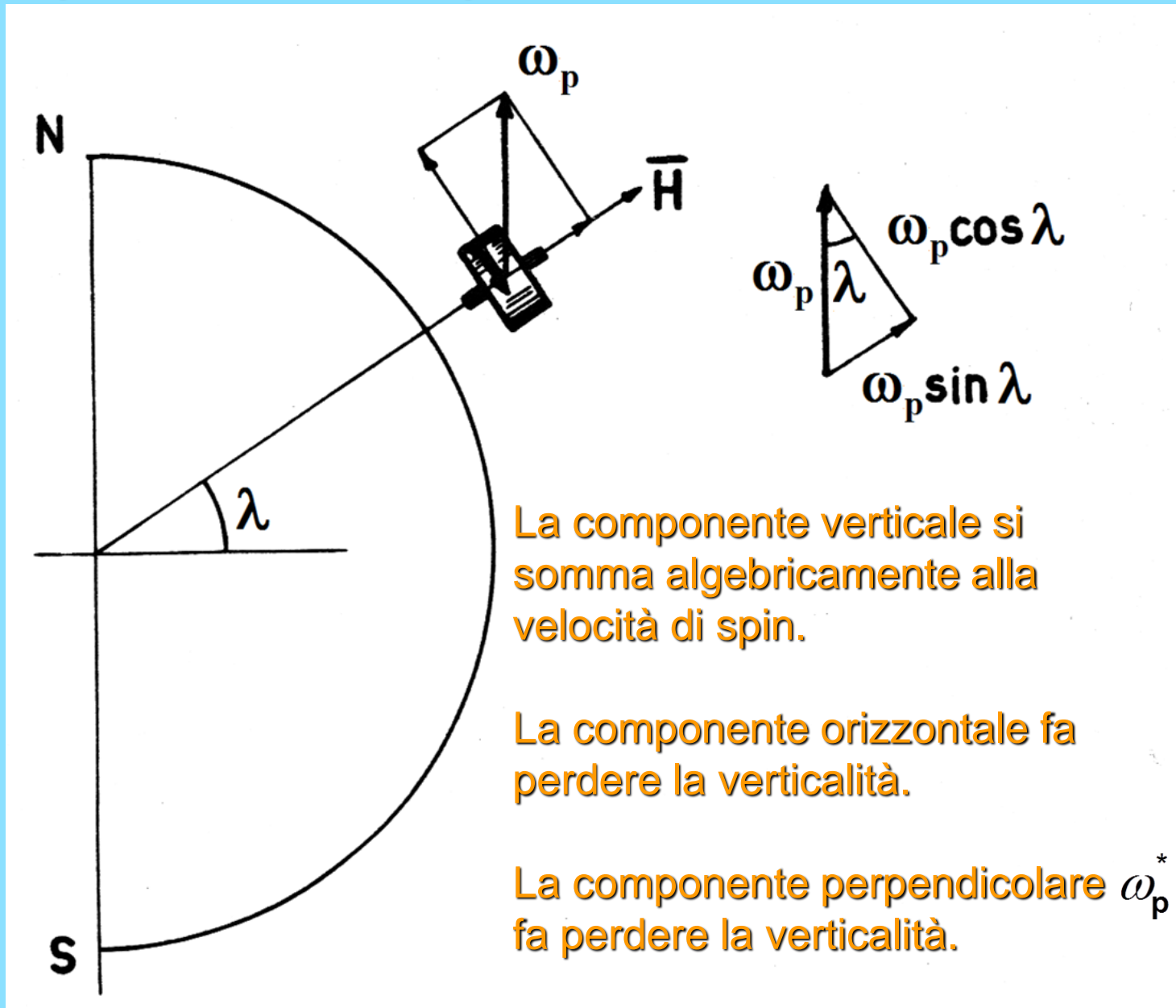
Precessione apparente dovuta al movimento



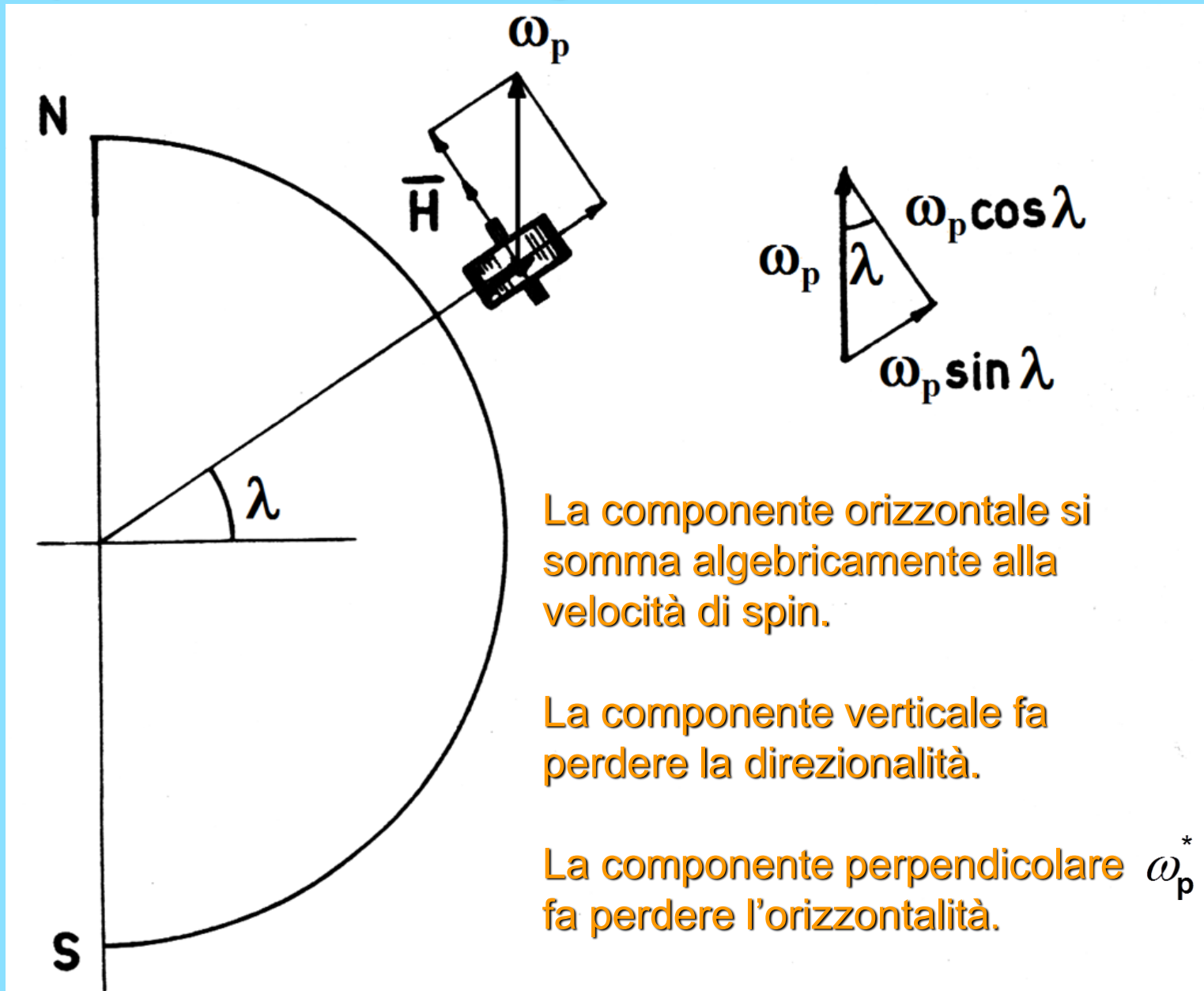
$$\omega_p = \frac{V_E}{R \cos \lambda} = \frac{V \sin \psi}{R \cos \lambda}$$

$$\omega_p^* = \frac{V_N}{R} = \frac{V \cos \psi}{R}$$

Giroscopio con asse parallelo alla verticale locale



Giroscopio con asse tangente al meridiano locale



Precessione apparente complessiva

$$\omega_p = \left(\Omega \pm \frac{V \sin \psi}{R \cos \lambda} \right) \sin \lambda$$

$$\omega_p^* = \frac{V \cos \psi}{R}$$